

شبیه‌سازی نشت در بدنه سد خاکی با استفاده از روش عددی بدون شبکه المان طبیعی، مطالعه موردی: سد درودزن

الهام دلاور^۱

محمد ذونعمت کرمانی*^۲

غلامحسین برادران^۳

چکیده

فرسایش داخلی و تراوش در سدهای خاکی یکی از عوامل اصلی شکست سد بوده و بررسی آن از مسائل مهم در پایش و مراقبت از سد است؛ از جمله راهکارهای مؤثر در این زمینه، مدل‌سازی عددی تراوش در بدنه سد و مشخص کردن بالاترین خط نشت (فریاتیگ) است. به این منظور در این تحقیق از روش بدون شبکه المان طبیعی (NEM) با درون‌یاب سیبسون برای مدل‌سازی نشت در بدنه سد خاکی درودزن استفاده شد. در ابتدا به منظور صحت‌سنجی دقت روش NEM، شبیه‌سازی رفتار جریان متخلخل و میزان دبی نشت درون بدنه یک بند نیمه-تراوا انجام شد. پس از اطمینان از صحت عملکرد مدل، شبیه‌سازی نشت در بدنه سد درودزن انجام شد. به منظور کنترل نتایج، مقادیر محاسباتی با برداشت‌های مشاهداتی تراز سطح آب پیژومترهای بدنه مقایسه شد. با توجه به میانگین خطای تفاضلی نسبی کمتر از ۵ درصد، می‌توان صحت نتایج شبیه‌سازی را تأیید کرد. یافته‌های حاصل از پژوهش، عدم وجود پدیده فرسایش داخلی و رگاب در بدنه سد را به فراخور تغییر نکردن ضریب نفوذپذیری در طی زمان و عملکرد صحیح زهکش بدنه تأیید می‌کند.

واژه‌های کلیدی

روش المان طبیعی، نشت، روش‌های بدون شبکه، درون‌یاب سیبسون، زهکش داخلی.

۱. دانشجوی کارشناسی ارشد، مهندسی سازه‌های آبی، دانشگاه شهید باهنر کرمان، کرمان، ایران.

۲. استادیار، بخش مهندسی آب، دانشگاه شهید باهنر کرمان، کرمان، ایران، zounemat@uk.ac.ir.

۳. دانشیار، بخش مهندسی مکانیک، دانشگاه شهید باهنر کرمان، کرمان، ایران.

مقدمه

گرهی را به راحتی امکان پذیر می کند (کوئتو^۱ و همکاران، ۲۰۰۳).

درواقع، روش های بدون شبکه بر اساس نوع تعریف توابع شکل و چگونگی کمینه کردن توابع تقریب (شکل قوی - شکل ضعیف) تقسیم بندی می شوند (شاهرخ آبادی و توفیق، ۱۳۸۸). از مهم ترین انواع روش های بدون شبکه می توان به روش هیدرودینامیک ذرات هموار شده^{۱۰} (موسوی نژاد و ماکویی، ۱۳۹۲)، حرکت کمینه مربعات^{۱۱}، روش بدون شبکه گالرکین^{۱۲}، روش پتروف گالرکین (تقی پور و رحمانی فیروز جانی، ۱۳۹۲) و المان طبیعی^{۱۳} (مارتینز^{۱۴} و همکاران، ۲۰۰۳) اشاره نمود. ابداع و شروع به کار روش های بدون شبکه را می توان از آغاز به کار روش هیدرودینامیک ذرات هموار شده، توسط گینگولد و مونقان^{۱۵} در سال ۱۹۷۷ دانست. این روش مبتنی بر دیدگاه لاگرانژی است (دیدگاهی که در آن دستگاه مختصات به همراه حرکت سیال جابه جا می شود) و اولین بار در مدل سازی پدیده های نجومی به کار گرفته شد. بلیشکو^{۱۶} و همکاران در سال ۱۹۹۴ روش بدون شبکه گالرکین^{۱۷} را ارائه کردند و در ادامه روش المان طبیعی توسط سوکومار^{۱۸} و همکاران در سال ۱۹۹۸ ارائه شد (ژانگ^{۱۹} و همکاران، ۲۰۱۴). این روش بر اساس مفهوم همسایه طبیعی استوار است. مزیت عمده این روش در تعیین توابع شکل، استفاده از دیاگرام وورونی است که باعث پایداری و نهایتاً سادگی در اعمال شرایط مرزی اساسی می شود (شاهرخ آبادی و توفیق، ۱۳۸۸). درون یاب های مورد استفاده در NEM درون یاب سیسون و غیر سیسون^{۲۰} است که درون یاب غیر سیسون، قابلیت اعمال دقیق شرایط مرزی اساسی را در مرزهای محدب و غیر محدب دارد (سوکومار^{۲۱} و همکاران، ۲۰۰۱). در مقایسه با MLS، درون یاب همسایه طبیعی برخی ویژگی های جذاب و متمایز از جمله خواص درون یابی گره ها و سهولت در اعمال شرایط مرزی را ارائه می دهد. روش بدون شبکه ی المان

جریان آب در بدنه سدها باعث به وجود آمدن فشارهای حفره ای می شود و در صورت تجاوز از حد بحرانی می تواند باعث شکست و تخریب سد شود. در پی مدل سازی بدنه سد و تعیین خط فریاتیک^۱، می توان فشار آب در هر نقطه را تعیین کرد. لازم به ذکر است که تعیین دقیق موقعیت خط جریان فریاتیک در بدنه سدهای خاکی در مسائل مربوط به پایداری آن ها اهمیت فراوان دارد. یکی از مرسوم ترین و حائز اهمیت ترین روش های شبیه سازی رفتار جریان، روش های عددی هستند. روش های مدل سازی عددی به دو گروه کلی روش های مبتنی بر شبکه^۲ و روش های بدون شبکه^۳ تقسیم بندی می - شوند که هر یک معایب و مزایای خاص خود را دارند. از میان روش های مبتنی بر شبکه، روش اجزاء محدود^۴، تفاضل محدود^۵ و احجام محدود^۶ به صورت گسترده ای در شبیه سازی های رایانه ای کاربرد دارند؛ شایان ذکر است که روش های احجام محدود و اجزاء محدود وابستگی زیادی به نحوه و شکل شبکه داشته و این در حالی است که توابع شکل روش های وابسته به شکل بر روی شبکه ها و مرز المان ها از انعطاف کافی برخوردار نیستند. افزون بر این، در حل مسائل با شرایط مرزی متغیر (همانند جریان آزاد آب در بدنه سدهای خاکی)، روش های عددی که نیاز به المان بندی ناحیه مسئله دارند، به دلیل نیاز به مش بندی مجدد در هر بار تحلیل، زمان - بر بوده و توصیه نمی شوند (آیدلسون^۷ و همکاران، ۲۰۰۳) و یو^۸ و همکاران (۲۰۰۴).

یکی از روش های غلبه بر مشکلات موجود در روش های مبتنی بر شبکه، به کارگیری روش های بدون شبکه است. روند روش های بدون شبکه عبارت است از ایجاد یک سری نقاط گرهی در محدوده مسئله بدون پیوستگی و ارتباط از پیش تعریف شده بین آن ها. این خاصیت امکان تغییر در تعداد نقاط

¹³ Natural Element Method

¹⁴ Martinez

¹⁵ Gingold & Monaghan

¹⁶ Belyschko

¹⁷ EFG

¹⁸ Sukumar

¹⁹ Zhang

²⁰ Non-Sibson

²¹ Sukumar

¹ Feryatic Line

² Mesh base Method

³ Mesh free Method

⁴ Finite Element Method

⁵ Finite Difference Method

⁶ Finite Volume Method

⁷ Idelsohn

⁸ Yoo

⁹ Cueto

¹⁰ SPH

¹¹ MLS

¹² EFG

مواد و روش‌ها

معرفی منطقه مورد مطالعه و سد درودزن

سد درودزن از جمله مفیدترین سدهای حاضر کشور است. این سد با سابقه بیش از ۴۰ سال بهره‌برداری، نقش حیاتی را در تأمین آب شرب شهر شیراز، آب مصرفی صنایع پتروشیمی شیراز، تأمین آب کشاورزی برای اراضی پایین‌دست و تولید برق ایفا نموده و از سازه‌های آبی ارزشمند جنوب کشور به شمار می‌رود. این سد در محدوده ۳۰ درجه عرض شمالی و ۵۲ درجه طول شرقی در جنوب مرکزی ایران و در فاصله‌ی ۸۵ کیلومتری شمال باختری شهر شیراز قرار دارد (شکل ۱-الف). سد درودزن بر روی رودخانه کر و در حوزه آبریز دریاچه-ی بختگان احداث شده است (شکل ۱-الف)؛ در جدول (۱) مشخصات کلی سد درودزن ارائه شده است (شرکت آب منطقه‌ای فارس، ۱۳۹۲).

ابزارهای اندازه‌گیری تراز پیزومتریک در سد درودزن شامل ۱۲ دستگاه پیزومتر کاساگرانده و ۲ دستگاه پیزومتر لوله قائم است. پیزومتر کاساگرانده در ۳ مقطع طولی و ۴ مقطع عرضی در بدنه و پی سد نصب شده‌اند (شکل ۱-ب). در ادامه از پیزومترهای شماره ۲ و ۱۳ به منظور کنترل محاسبات از گزارش‌های ایجاد شده استفاده شده است (شرکت آب منطقه‌ای فارس، ۱۳۹۲).

معادلات حاکم بر نشت

معادله حاکم بر نشت جریان اشباع برای سیال تراکم‌ناپذیر و همگن، در مسائل دوبعدی به شکل زیر است (جی و همکاران ۲۰۱۲) و شاهرخ‌آبادی و توفیق^۲ (۲۰۱۳):

$$\frac{\partial}{\partial x} \left(K_x \frac{\partial h}{\partial x} \right) + \frac{\partial}{\partial y} \left(K_y \frac{\partial h}{\partial y} \right) = 0 \quad (1)$$

که k_x و k_y به ترتیب ضریب نفوذپذیری در جهت x و y و

h هد یا بار آبی کل که طبق معادله برنولی برابر است با:

$$h = \frac{p}{\gamma_w} + y + \frac{v^2}{2g} \quad (2)$$

در معادله فوق $\frac{p}{\gamma_w}$ = هد معادل فشار، y = هد ارتفاع و $\frac{v^2}{2g}$ = هد معادل سرعت.

طبیعی در مسائل مقدار مرزی کاربرد فراوان دارد ضمن اینکه برای مدل کردن ناپیوستگی‌ها (همچون ترک) نیز به‌خوبی از این روش استفاده می‌شود. امروزه NEM به‌طور معمول در دینامیک سیالات، مکانیک جامدات، شکل‌دهی فلزات، اتصال ساختار سیال، بیومکانیک و غیره استفاده می‌شود (جی^۱ و همکاران، ۲۰۱۳).

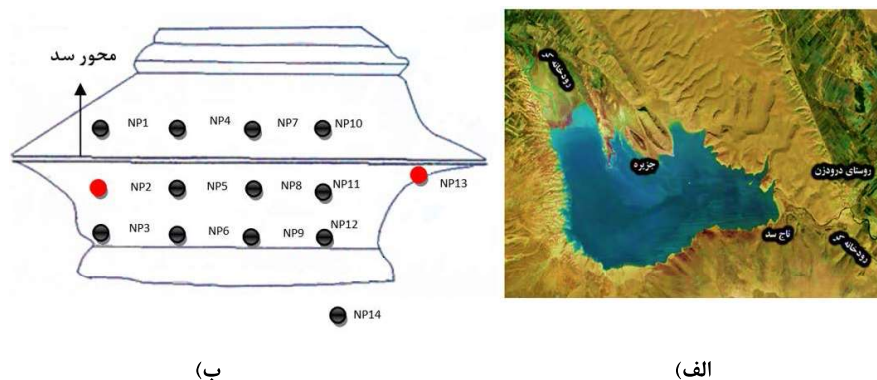
هدف از انجام این تحقیق مدل‌سازی نشت در بدنه سد خاکی درودزن به‌منظور تعیین موقعیت خط فریاتیک است؛ برای نیل به این هدف از روش عددی بدون شبکه المان طبیعی استفاده شده است. در ابتدا به‌منظور صحت سنجی روش مورد استفاده، میزان نشت در یک بند خاکی نیمه-تراوا مورد مدل‌سازی قرار گرفت و نتایج با مشاهدات صحرائی و حل عددی به روش‌های اجزای محدود و المان مرزی مقایسه شد. در ادامه نشت در سد خاکی درودزن مدل‌سازی و خط فریاتیک و خطوط کنترل سرعت در بدنه سد تعیین شد و نتایج آنالیز با گزارش پیزومترهای موجود در بدنه سد مورد مقایسه قرار گرفت.

جدول (۱): مشخصات ساختمانی و تأسیسات سد درودزن

عنوان	مقدار/مشخصات
نوع بدنه سد	خاکی همگن با زهکش دودکشی
ارتفاع از پی	۵۷ متر
ارتفاع از بستر	۸۴ متر
طول تاج	۷۱۰ متر
نسبت طول به ارتفاع	۱۲
عرض تاج سد	۷ متر
بیشترین عرض بدنه در پی	۴۰۰ متر
تراز تاج سد	۱۶۸۳/۵
نوع سرریز	بتنی آزاد
ظرفیت سرریز	۳۰۰۰ مترمکعب بر ثانیه
دوره بازگشت سیلاب طراحی	۱۰۰۰۰ ساله

² Shahrokhbabadi & Toufigh

¹ Jie



شکل (۱): سد درودزن (الف) تصویر ماهواره‌ای سد و (ب) پلان جانمایی پیزومترهای موجود در سد (پیزومترهای شماره ۲ و ۱۳ مربوط به بدنه سد هستند)

ناحیه به گره n_i نزدیک‌تر از هر گره دیگر است (شکل ۲). به این نواحی V_i سلول‌های وورونی مرتبه‌ی اول گفته می‌شود:

$$V_i = \{X(x, y) \in R^2 : d(x, X_i) \leq (d(x, X_j) \forall j \neq i)\} \quad (3)$$

به طوری که $X(x, y) =$ مختصات نقطه‌ای در فضای دوبعدی و محدود به دامنه حل و $d(x, X_i) =$ فاصله اقلیدسی بین X و X_i در محاسبات دستی دیاگرام وورونی را می‌توان با رسم عمودمنصف‌های بین هر دو گره به دست آورد. اگر گره‌های سلول‌های وورونی که باهم مرز مشترک دارند با خط به هم وصل شوند مثلث‌هایی تشکیل می‌شود که به آن‌ها مثلث‌های دلاونی گفته می‌شود که در شکل (۳-الف) نشان داده شده است (دربانی^۱ و همکاران، ۲۰۱۱). این مثلث‌ها دارای این خصوصیت هستند که اگر دایره محیطی گذرنده از سه رأس هر یک از این مثلث‌ها رسم شود هیچ گره دیگری درون این دایره قرار نمی‌گیرد (شکل ۳-ب). از نقطه نظر درون‌یابی همسایه طبیعی به این دایره‌ها، دایره‌های محیطی همسایه طبیعی گفته می‌شود که می‌توان جهت پیدا کردن هم‌جوارهای طبیعی از آن‌ها استفاده نمود. بدین نحو که اگر نقطه X داخل دایره مثلث $DT(n_i, n_j, n_k)$ قرار گیرد به این معناست که n_i, n_j, n_k هم‌جوارهای طبیعی X خواهند بود. به همین روش همه گره‌های اطراف X به همین صورت کنترل می‌شوند تا تمامی هم‌جوارهای طبیعی آن مشخص شود (سوکومار و همکاران، ۱۹۹۸).

الگوریتم حل روش بدون شبکه المان طبیعی

در روش المان طبیعی به منظور جداسازی معادله دیفرانسیل، ابتدا فرم ضعیف استخراج شده و پس از آن انتگرال فرم ضعیف به انتگرال روی مثلث‌های دلاونی شکسته می‌شود. لازم به ذکر است که در روش المان طبیعی روی هم‌گذاری معادلات بر اساس موقعیت گره‌های محاسباتی است. به این ترتیب که نقاط گوس لازم برای محاسبه انتگرال در داخل هر مثلث دلاونی مشخص می‌شود و سپس در روند تحلیل عددی برنامه، محاسبات لازم برای هر یک از نقاط گوس انجام می‌گردد. برای هر نقطه گوسی، ابتدا تمامی گره‌های مؤثر بر نقطه گوس مورد نظر تعیین می‌شوند، سپس جملات ماتریس سختی مرتبط با گره‌های مورد نظر محاسبه شده و با توجه به شماره عمومی گره‌ها در محل صحیح از ماتریس سختی جای می‌گیرند. در پایان این رویه ماتریس سختی کامل می‌شود.

دیاگرام وورونی مرتبه اول

دیاگرام وورونی و شبکه‌بندی دلاونی یکی از اساسی‌ترین و مفیدترین ابزارهایی هستند که یک مجموعه نامنظم نقاط (گره‌ها) را تعریف می‌کنند. مجموعه‌ای از گره‌های مجزا به صورت $N = \{n_1; n_2; \dots; n_M\}$ را در فضای R^2 در نظر بگیرید (شکل ۲) دیاگرام وورونی مرتبه اول برای مجموعه N ، تقسیمی از دامنه مسئله به نواحی است که هر ناحیه‌ی V_i به گره n_i نسبت داده می‌شود به طوری که هر نقطه دلخواه در این

¹ Darbani

دیاگرام وورونی مرتبه دوم

دیاگرام وورونی مرتبه دوم برای دو نقطه i, j به این صورت تعریف می‌شود که مجموعه نقاطی از محدوده هستند که پس از گره j با گره i کمترین فاصله را داشته باشند.

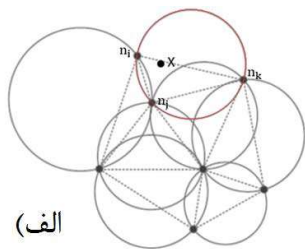
$$V(i, j) = \{X \in R^2 | d(x, X_j) \leq (d(x, X_i) \leq (d(x, X_k) \forall k \neq i, j)) \quad (4)$$

برای رسم دیاگرام وورونی مرتبه دوم $V(i, j)$ می‌توان ابتدا بدون در نظر داشتن نقطه j دیاگرام وورونی را برای بقیه نقاط رسم کرد در این حالت قلمرو گره i $V(i)$ نام گذاری می‌شود سپس با در نظر گرفتن گره j ، مجدداً اقدام به ترسیم دیاگرام وورونی نمود، در این حالت قلمرو گره j را $V(j)$ می‌نامند. دیاگرام وورونی مرتبه دوم گره‌های i, j برابر با اشتراک دو محدوده‌ی $V(i)$ و $V(j)$ است (رابطه (۵) و شکل (۴)).

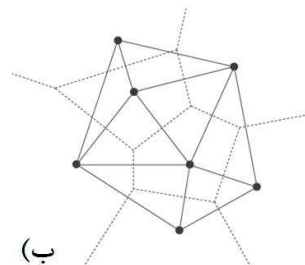
$$V(i) = \{x \in R^d | d(x, X_i) \leq d(x, X_k) \forall k \neq i, j\}$$

$$V(j) = \{x \in R^d | d(x, X_j) \leq (d(x, X_k) \forall k \neq i, j)\} \quad (5)$$

$$V(i, j) = \{x \in (V(i), V(j))\}$$

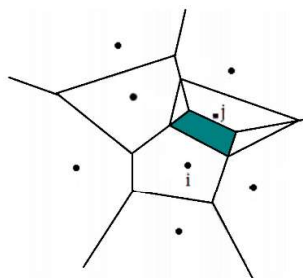


(الف)



(ب)

شکل (۳): (الف) مثلث‌های دلاونی و (ب) دایره‌های محیطی همسایه طبیعی متشکل از ۷ گره



شکل (۴): دیاگرام وورونی مرتبه دوم گره‌های i, j

تابع شکل سیبسون

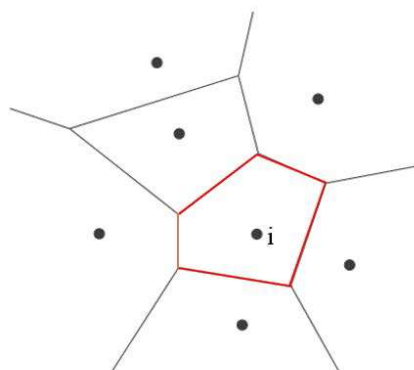
در روش سیبسون برای به دست آوردن مقدار تابع گره i روی نقطه دلخواه X با مختصات $X=[x, y]$ (در حالت دوبعدی) به صورت زیر عمل می‌شود. با در نظر داشتن مساحت (حجم برای مسائل سه‌بعدی - طول برای مسائل یک‌بعدی) دیاگرام وورونی مرتبه اول برای نقطه X را $A(X)$ و مساحت (حجم/طول) دیاگرام وورونی مرتبه دوم برای گره i و نقطه X را با $A_i(X)$ مشخص کنیم، تابع شکل گره i روی نقطه X به صورت رابطه (۶) محاسبه می‌شود:

$$\phi_i(X) = \frac{A_i(X)}{A(X)} \quad (6)$$

همچنین مشتق تابع شکل به صورت رابطه (۷) نوشته می‌شود:

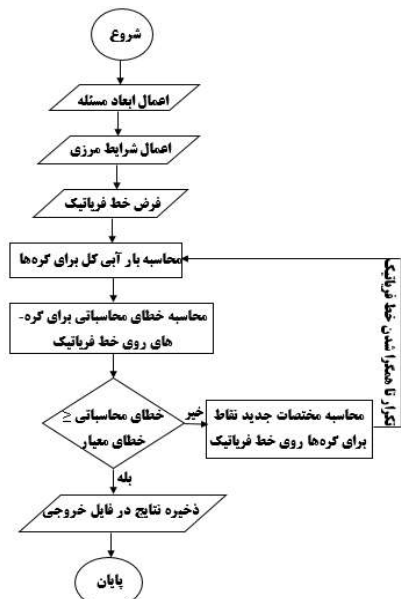
$$\frac{\partial \phi_i(X)}{\partial X_j} = \phi_{i,j}(X) = \frac{A_{i,j} - \phi_i(X)A_{i,j}(X)}{A(X)}$$

$$(j=1,2,3) \quad (7)$$



شکل (۲): دیاگرام وورونی مرتبه اول گره i

تمام دامنه‌ی مسئله را گره‌گذاری کرد و در حالت دوم به منظور کاهش هزینه محاسباتی، در لحظه شروع محاسبات سطح آزاد اولیه را فرض نمود؛ در این تحقیق روال حل مسئله بر پایه‌ی استراتژی دوم است که در ادامه فرآیند مربوطه در فلوچارت (روندنما) شکل (۶) ارائه شده است.



شکل(۶): روندنمای فرآیند تعیین موقعیت خط فریاتیك

نتایج

تهیه و توسعه مدل عددی

به منظور برپایی و اجرای مدل عددی، یک برنامه رایانه‌ای در محیط برنامه‌نویسی نرم‌افزار "MATLAB" توسط نگارندگان تهیه و توسعه داده شد.

صحت سنجی مدل عددی

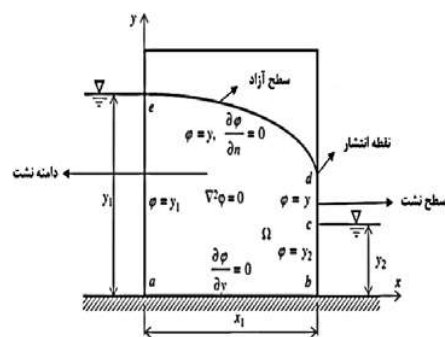
به منظور صحت‌سنجی مدل عددی، جریان نشت درون محیط متخلخل یک بند خاکی مستطیل شکل نیمه-تراوا به ابعاد ۱۲ متر ارتفاع و ۱۰ متر عرض مورد بررسی قرار گرفت (شکل ۷-الف). ضریب هدایت هیدرولیکی برابر با $k_x = k_y = 0.12 m/d$ در نظر گرفته شده است. به منظور گسسته سازی فضای فیزیکی بند، محیط متخلخل با روش بدون شبکه المان طبیعی در سه حالت توزیع گره‌ای با تعداد ۱۲۰، ۱۰۰ و ۵۰ گره، گره‌گذاری شد و سپس نتایج به دست آمده در هر سه حالت با گزارش‌های مشاهداتی و نتایج

واضح است گره‌های همسایه نقطه X روی نقطه X مقدار تابع شکل غیر صفر دارند (فرین^۱، ۲۰۰۳).

شرایط مرزی

برای حل هر معادله دیفرانسیل احتیاج به شرایط مرزی و اولیه است. به طوری که انتخاب شرایط مرزی نامناسب ممکن است منجر به ایجاد خطا در مدل و تفاوت بین پاسخ مدل و سیستم واقعی گردد. در روش المان‌های طبیعی به دلیل تأمین خاصیت دلتا کرونگر، اعمال شرایط مرزی چندان سخت نیست به طوری که تحلیل گر می‌تواند این شرایط را روی هندسه مسئله پیاده کند.

از آنجاکه تابع شکل المان طبیعی در نواحی مرزی به صورت خطی است و فقط گره‌های مرزی در آن نواحی مؤثرند لذا می‌توان گفت که اعمال شرایط مرزی در روش المان طبیعی نیز مانند روش اجزای محدود است (اندرسون و ووزنر^۲، ۱۹۹۲). به منظور مدل‌سازی نشت در بدنه سدهای خاکی، سه نوع شرایط مرزی بر مسئله حاکم خواهد بود. به طور مثال در بند نشان داده شده در شکل (۵) مرزهای ae و bc و cd شرایط مرزی از نوع دریشله است. در مرز ab شرایط مرزی نیومن حاکم است چراکه مشتق h برابر با $\frac{\partial h}{\partial y} = 0$ مشخص است. در مرز ed شرایط مرزی از نوع مختلط تعریف می‌شود. (ذکر این نکته الزامی است که بار آبی کل را در مسائل نشت هم با h و هم با ϕ نمایش می‌دهند).



شکل(۵): جریان عبوری از یک بند مستطیل شکل دوبعدی (چایو^۳ و همکاران، ۲۰۱۱)

تعیین موقعیت خط فریاتیك

به طور کلی در حل مسائل نشت به منظور تعیین خط فریاتیك، دو استراتژی در گره‌گذاری وجود دارد؛ در حالت اول می‌توان

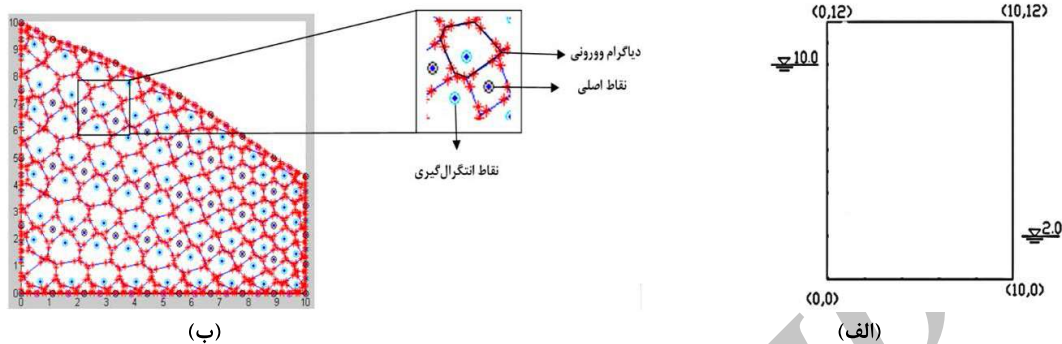
³ Chayo

¹ Farin

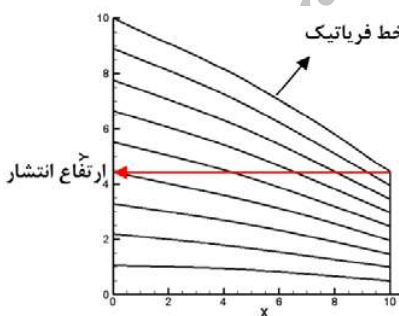
² Anderson & Woensner

شبیه‌سازی نشت در بدنه سد خاکی با استفاده از روش عددی بدون شبکه المان طبیعی ۵۱

حاصل از روش‌های عددی روش‌های اجزای محدود و المان آزاد مورد مقایسه قرار گرفت. شکل (۷-ب) محیط گسسته‌سازی شده بند خاکی را پس از تثبیت موقعیت خط فریاتیکی و در حالت ۵۰ گره نشان می‌دهد. علاوه بر این، نتایج حاصل از



شکل (۷): الف) وضعیت هندسی بند خاکی و ب) نمای شماتیک از دیگرام‌های وورونی و مکان نقاط گرهی پس از تثبیت موقعیت خط فریاتیکی در حل مسئله نشت از بند خاکی



شکل (۸): موقعیت نهایی خط فریاتیکی و خطوط جریان حاصل از مدل‌سازی جریان نشت

جدول (۲): نتایج حاصل از مقایسه نتایج آنالیز به روش المان طبیعی، با نتایج حل تحلیلی و روش عددی اجزای محدود و المان آزاد

روش حل	آزمایش صحرایی (روشن ^۲ و همکاران، ۱۹۷۹)	اجزای محدود	المان آزاد (لی ^۱ و همکاران، ۲۰۰۳)	المان طبیعی با ۵۰ گره	المان طبیعی با ۱۰۰ گره	المان طبیعی با ۱۲۰ گره
میزان تخلیه $q (m^3/d)$	۰/۵۸۳	۰/۵۷۶	۰/۵۷۱	۰/۵۷۳	۰/۵۷۹	۰/۵۸۱
ارتفاع انتشار $a (m)$	۴/۷۳	۴/۲۲	۴/۶۲	۴/۴۱	۴/۴۶	۴/۴۷
خطای نسبی	میزان تخلیه	-۱/۲۰	-۲/۰۶	-۱/۷۲	-۰/۶۸	-۰/۳۴
	ارتفاع انتشار	-۱۰/۷۸	-۲/۳۳	-۶/۷۶	-۵/۷	-۵/۴۹

در ادامه مقایسه میزان تخلیه و دبی نشت از بند (q) به همراه ارتفاع انتشار (a) حاصل از مدل عددی المان طبیعی با برداشت‌های صحرایی روشن و همکاران (۱۹۷۹) و نتایج عددی اجزاء محدود و المان آزاد در دستور کار قرار گرفت

² Rushton

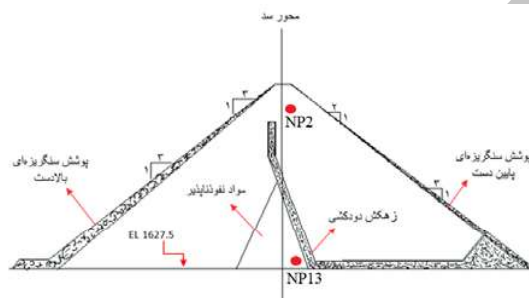
¹ Li

را نسبت به روش‌های اجزاء محدود و المان آزاد به کار گرفته بیان می‌دارد.

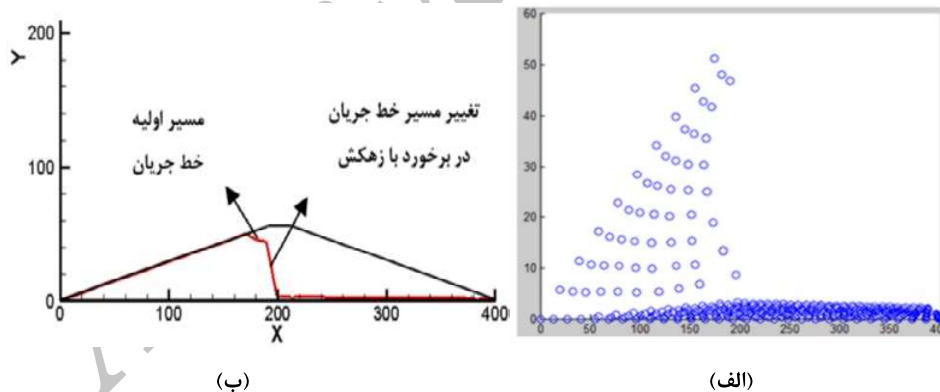
مدل‌سازی جریان نشت درون سد درودزن

به‌منظور بررسی روند نشت درون بدنه سد خاکی درودزن و اطمینان از عملکرد مناسب سد، شبیه‌سازی عددی جریان با استفاده از روش المان طبیعی درون سد با شرایط ضرایب نفوذپذیری متفاوت انجام شد. مقطع عرضی در شکل (۹) نشان داده شده است. لازم به ذکر است که ضرایب نفوذپذیری طبق مشخصات مصالح سد درودزن برای قسمت بالادست بدنه 10^{-7} متر بر ثانیه، قسمت پایین دست 10^{-6} متر بر ثانیه،

زهکش 10^{-4} متر بر ثانیه و مواد نفوذناپذیر در مرکز 10^{-8} متر بر ثانیه در نظر گرفته شد. مدل‌سازی در پنج مرحله با توجه به تغییرات تراز سطح آب در بالادست (جدول (۳)) انجام شد. برای گسسته سازی فضای فیزیکی سد، محیط متخلخل در حالت توزیع گره‌ای با تعداد ۴۰۰ گره، گره‌گذاری شد. برای نمونه، موقعیت گره‌ها پس از تحلیل معادلات به همراه نتایج آنالیز سد برای تعیین موقعیت خط فریاتیکی در هنگام رقوم سطح آب بالادست برابر با ۵۱/۱ متر (بالترین ارتفاع آب در مخزن سد، طبق آمار ۱۵ ساله از سال ۱۳۷۸ تا ۱۳۹۲ سد درودزن) در شکل (۱۰) نشان داده شده است.



شکل (۹): نمایش مقطع عرضی سد درودزن در محور مرکزی سد به همراه موقعیت ۲ پیژومتر مورد مطالعه



شکل (۱۰): نتایج آنالیز سد درودزن الف) موقعیت گره‌های محاسباتی پس از تعیین خط فریاتیکی و ب) نمایش موقعیت نهایی خط فریاتیکی

پیژومتر در تراز ۱۶۲۹/۳۹ متری و رقوم دهانه آن در تراز ۱۶۷۹ متری و از نوع کاساگرانده است. پیژومتر NP13 در فاصله ۳ متری از محور سد بافاصله ۶۸۰ متر از صفر سد در پایین دست قرار دارد که رقوم کف پیژومتر در تراز ۱۶۷۱/۸۲ متری و رقوم دهانه آن در تراز ۱۶۸۳ متری و از نوع لوله قائم است. موقعیت این دو پیژومتر در مقطع عرضی سد در شکل

برای اطمینان از صحت نتایج تحلیل، مقایسه نتایج عددی با گزارش‌ها مشاهداتی در دو پیژومتر NP2 و NP13 انجام شد (رجوع کنید به شکل (۱)). دو نقطه کنترلی در بدنه (این دو نقطه محل قرارگیری دو پیژومتر NP2 و NP13 است) که پیژومتر NP2 در فاصله ۱۲ متری از محور سد در پایین دست قرار دارد و فاصله آن از صفر سد ۴۰۰ متر است. رقوم کف این

این مسئله خاکی از عملکرد صحیح زهکش دارد و وضعیت مناسب گذر آب درون بدنه سد را تأیید می‌کند. بررسی و مقایسه نتایج حاصل از این تحقیق و سایر پژوهش‌های مرتبط نشان‌دهنده دقت رضایت‌بخش روش‌های اجزا محدود مبتنی بر شبکه و روش بدون شبکه المان طبیعی در مدل‌سازی نشت در محیط متخلخل است (کینقوی^۱ و همکاران، ۲۰۱۴). علاوه بر این، به دلیل عدم نیاز روش بدون شبکه المان طبیعی به مش‌بندی ناحیه مسئله، این روش در حل مسائل با شرایط مرزی متغیر، از لحاظ هزینه محاسباتی نسبت به روش پرکاربردی چون اجزای محدود مقرون‌به‌صرفه است؛ بنابراین تلفیق دقت و زمان، روش المان طبیعی را روشی مناسب در زمینه‌ی آنالیز مسائل نشت معرفی می‌کند.

(۹) قابل مشاهده است. در ادامه نتایج مقایسه تحلیل نشت در بدنه سد در قالب رقوم سطح آب در دو نقطه کنترلی مذکور با نتایج ثبت‌شده توسط پیزومتر NP2 و NP13 به ترتیب در جداول (۳) و (۴) درج شده است. تحلیل خطای نسبی محاسبه‌شده توسط روش عددی المان طبیعی در پنج مرحله مدل‌سازی مبین توانایی مدل عددی در شبیه‌سازی جریان نشت درون بدنه سد است. به طوری که در حالت بالاتر بودن رقوم آب از کف پیزومتر (پیزومتر NP2) میزان میانگین خطای نسبی کمتر از ۱۰ درصد بوده و در حالت عدم وجود آب درون پیزومتر مشاهداتی NP13، نتایج توسط مدل عددی تأیید شده است. بررسی روند گذر آب درون بدنه سد بیان می‌دارد که آب نشتی موجود در بدنه، با رسیدن به زهکش دودکشی تغییر مسیر داده و سپس حرکت خود را در مسیر زهکش بدون گذر از بخش پایین دست سد ادامه می‌دهد.

جدول (۳): نتایج مقایسه تحلیل نشت در بدنه سد در دوزن در نقطه کنترلی اول، پیزومتر NP2

تاریخ	ارتفاع آب بالادست (متر)	سطح آب پیزومتر	رقوم کف پیزومتر (متر)	میزان آب در پیزومتر (متر)	نتایج مدل عددی (متر)	خطای نسبی	میانگین خطای نسبی
۱۳۷۸/۱۰/۱۵	۳۴/۷	۱۶۳۰/۰۹	۱۶۲۹/۳۹	۰/۷	۰/۹۳	۳۲/۸۵٪	۹/۵۴٪
۱۳۸۰/۰۶/۳۱	۳۱/۷۶	خشک	۱۶۲۹/۳۹	۰	۰	۰٪	
۱۳۸۲/۰۳/۱۵	۴۵/۱۴	خشک	۱۶۲۹/۳۹	۰	۰/۰۴	غیر قابل محاسبه	
۱۳۸۲/۰۴/۱۵	۴۲/۸۵	۱۶۳۰/۳۳	۱۶۲۹/۳۹	۰/۹۴	۱/۱	۱۷/۰۲٪	
۱۳۹۱/۰۲/۰۲	۵۰/۱	۱۶۳۰/۱۹	۱۶۲۹/۳۹	۰/۸	۰/۶۳	۲۱/۲۵٪-	

جدول (۴): نتایج مقایسه تحلیل نشت در بدنه سد در دوزن در نقطه کنترلی دوم، پیزومتر NP13

تاریخ	ارتفاع آب بالادست (متر)	سطح آب پیزومتر	رقوم کف پیزومتر (متر)	میزان آب در پیزومتر (متر)	نتایج مدل عددی (متر)	خطای نسبی	میانگین خطای نسبی
۱۳۷۸/۱۰/۱۵	۳۴/۷	خشک	۱۶۷۱/۸۲	۰	۰	۰٪	با توجه به خشک بودن رقوم آب پیزومتر، نتایج خطای نسبی محاسبه نشده است.
۱۳۸۰/۰۶/۳۱	۳۱/۷۷	خشک	۱۶۷۱/۸۲	۰	۰	۰٪	
۱۳۸۲/۰۳/۱۵	۴۵/۱۴	رقوم آب پایین تر از کف پیزومتر	۱۶۷۱/۸۲	۰	۰	۰٪	
۱۳۸۲/۰۴/۱۵	۴۲/۸۵	خشک	۱۶۷۱/۸۲	۰	۰	۰٪	
۱۳۹۱/۰۲/۰۲	۵۰/۱	رقوم آب پایین تر از کف پیزومتر	۱۶۷۱/۸۲	۰	۰	۰٪	

¹ Qinghui

نتیجه‌گیری

در این تحقیق برای بررسی موقعیت خط جریان فریاتیکی در بدنه سد درودزن، مدل‌سازی نشت در بدنه سد انجام شد. در ابتدا یک نمونه بند مستطیلی شکل نیمه-تراوا با روش بدون شبکه المان طبیعی در سه حالت توزیع گره‌ای مدل‌سازی شده و سپس نتایج با گزارش‌ها و مشاهدات صحرایی و حل عددی به روش‌های اجزای محدود و المان آزاد مقایسه شد. نتایج مقایسه حاکی از دقت بالای روش المان طبیعی بوده و بیانگر آن است که با افزایش تعداد گره‌های توزیع شده در دامنه مسئله، دقت نتایج حاصل از عددی افزایش خواهد داشت. به طوری که برای توزیع ۱۲۰ گره (بیشترین حالت توزیع گره‌ای در تحلیل بند)، درصد خطای نسبی آن در رابطه با میزان تخلیه برابر با $0/34-$ درصد و در رابطه با ارتفاع انتشار $5/49-$ درصد محاسبه شد که نتیجه‌ای رضایت‌بخش برای حل عددی مسئله محسوب می‌شود. در ادامه به تحلیل جریان نشت درون بدنه سد درودزن پرداخته شد و برای اطمینان از نتایج حاصل، نتایج تراز سطح آب با ۲ نقطه کنترلی (پیزومترها مشاهداتی) مورد مقایسه قرار گرفت. پس از تحلیل مسئله مشخص شد که نتایج در نقطه کنترلی اول، خطای نسبی تفاضلی برابر با $9/54\%$ نسبت به نتایج پیزومتر و در نقطه کنترلی دوم کاملاً مطابق با پیزومتر مربوطه بوده است. با توجه به پایش نتایج حاصل از مسیر جریان نشت درون بدنه سد، این‌گونه نتیجه‌گیری می‌شود که سیستم زهکشی موجود در بدنه‌ی سد درودزن به خوبی توانسته مسیر جریان آب نشتی بدنه را به سمت خود هدایت کرده و بدون گذر از بدنه در قسمت پنجه سد، از سد خارج کند؛ بنابراین می‌توان نتیجه گرفت که پایین دست سد درودزن از لحاظ پدیده‌های مخربی همچون پوسته‌پوسته شدن، رگاب و خطرات متعاقب آن در امنیت به سر می‌برد.

مراجع

۱- تقی پور، ر. و رحمانی فیروزجائی، ی. (۱۳۹۲). "تحلیل جریان عبوری از زیر سد با خاک لایه‌ای ناهمسان با استفاده از روش MLPG". هفتمین کنگره ملی مهندسی عمران، دانشکده مهندسی شهید نیک‌بخت، زاهدان، ۱۷ و ۱۸ اردیبهشت‌ماه ۱۳۹۲.

۲- شاهرخ‌آبادی، ش. و توفیق، م. م. (۱۳۸۸). "کاربرد روش بدون شبکه المان‌های طبیعی با درون‌یاب Non-Sibson در مدل‌سازی نشت آب از پی سد با دیواره آب‌بند". هفتمین کنگره بین‌المللی مهندسی عمران، ۲۱ تا ۲۳ اردیبهشت‌ماه ۱۳۸۸، دانشگاه شیراز، شیراز، ایران.

۳- شرکت آب منطقه‌ای فارس. (۱۳۹۲). "گزارش رفتارنگاری سد درودزن".

۴- موسوی نژاد، م. و ماکویی، م. ا. (۱۳۹۲). "تحلیل نشت جریان آب در داخل سد هسته آسفالتی با روش بدون شبکه". هفتمین کنگره ملی مهندسی عمران، دانشکده مهندسی شهید نیک‌بخت، زاهدان، ۱۷ و ۱۸ اردیبهشت‌ماه ۱۳۹۲.

5- Anderson, M. P. and Woessner, W. W. (1992). *Applied groundwater Modeling Simulation of Flow and Advective Transport*. San Diego, California.

6- Belyschko, T., Lu, Y. Y. and Gu, I. (1994). "Element free Galerkin methods." *International Journal for numerical methods in engineering*. 37(2), 219-256.

7- CHaiyo, Kh., Rattanadecho, ph. and Chantasiriwan, S. (2011). "The Method of Fundamental Solutions for Solving Free Boundary Saturated Seepage Problem." *International Communications in Heat and Mass Transfer*. 38(2), 249-254 .

8- Cuet, E., Sukumar, N. and Calvo, B. (2003). "Overview and Recent Advances in Natural Neighbour Galerkin Methods." *Archives of Computational Methods in Engineering*. 10(4), 307-384.

9- Darbani, M., Ouahsine, A., Villon, P., Naceur, H. and Smaoui, H. (2011). "Meshless method for shallow water equations with free surface flow." *Applied Mathematics and Computation*. 217(11), 5113-5124.

10- Farin, G. (2003). "Surface over Dirichlet Tessellation". *Computer Aided Geometric Design*. 7(1), 281-292.

11- Gingold, R. A. and Monaghan, J. J. (1977). "Smoothed particle hydrodynamics: theory and applications to non-spherical stars." *Monthly*

- seepage through fracture networks.” *Journal of Hydrology*. 519(27 November 2014), 881-891.
- 18- Shahrokhbadi, Sh. and Toufigh, M. M. (2013). “The solution of unconfined seepage problem using Natural Element Method (NEM) coupled with Genetic Algorithm (GA).” *Applied Mathematical Modelling*. 37(March 2013), 2775–2786.
- 19- Sukumar, N., Moran, B. and Belytschko, T. (1998). “The natural element method in solid mechanics.” *International Journal for Numerical Methods in Engineering*. 43(5), 839–887.
- 20- Sukumar, N., Moran, B., Semenov, Y. and Belikov, V. V. (2001). “Natural neighbour Galerkin methods.” *International Journal for Numerical Methods in Engineering*. 50(1), 1–27.
- 21- Yoo, J. W, Moran, B., and Chen, J. S. (2004). “Stabilized conforming nodal integration in the natural-element method.” *International Journal for Numerical Methods in Engineering*. 60(5), 861-890.
- 22- Zhang, Y., Yi, H. L. and Tan, H. P. (2014). “Natural element method analysis for coupled radiative and conductive heat transfer in semitransparent medium with irregular geometries.” *International Journal of Thermal Sciences*. 76(February 2014), 30-42.
- Notices of the Royal Astronomical Society*. 181, 375-385.
- 12- Idelsohn, S. R., Onate, E., Calvo, N., and Del Pin, F. (2003). “The meshless finite element method.” *International Journal for Numerical Methods in Engineering*. 58(6), 893-912.
- 13- Li, G. X., Ge, J. H. and Jie, Y. X. (2003). “Free surface seepage analysis based on the element-free method, *Mechanics Research Communications*.” *Mechanics Research Communications*. 30(1), 9-19.
- 14- Jie, Y. X. and Liu, Y. (2012). “Simulated annealing based algorithm for node generation in seepage analysis with meshless method.” *Mechanics Research Communications*. 43(July 2012), 96–100.
- 15- Jie, Y. X., Liu, L. Z., Xu, W. J. and Li, G. X. (2013). “Application of NEM in seepage analysis with a free surface.” *Mathematics and Computers in Simulation*. 89(March 2013), 23–37.
- 16- Martinez, M. A., Cueto, E., Doblare, M. and Chinesta, F. (2003). “Natural element meshless simulation of flows involving short fiber suspensions.” *Journal of Non-Newtonian Fluid Mechanics*. 115(1), 51–78.
- 17- Qinghui, J., Ye, Z. and Zhou. C. (2014). “A numerical procedure for transient free surface

Seepage Simulation through the Body of Earth Dam Using Natural Element Meshless Numerical Method, Case Study: Droodzan Dam

Elham Delavar¹
Mohammad Zounemat-Kermani^{2*}
Gholamhossein Baradaran³

Abstract

Internal erosion and seepage in earth dams are known as major parameters of dam break and investigation on these phenomena are important issues in monitoring and surveillance of dams. Numerical modelling of seepage in dams' body and determining the highest level of seepage line (phreatic) are the best remedies in this field. Thereafter, in this research natural element meshless numerical model (NEM) along with the Sibson's interpolation were used for simulating seepage through the body of Droodzan dam. At first, in order to validating the NEM, simulation of flow in an embankment obstacle was done. After ensuring about the accurate operation of the numerical model, seepage simulation in the Droodzan dam's body was applied and the results were checked with the observation data of dam's piezometers. Regarding an average less than 5 for the relative error, the accuracy of the NEM can be concluded. Results of the study confirm the inexistence of interior erosion or piping in the dam's body as far as the internal drain of the dam is working properly.

Keywords

Natural element method, seepage, meshless methods, Sibson's interpolation, internal drain.

¹ MSc student of water structure engineering, Shahid Bahonar University of Kerman, Kerman, Iran.

^{2*} Assistant Professor, Department of Water Engineering, Shahid Bahonar University of Kerman, Kerman, Iran, zounemat@uk.ac.ir.

³ Associate Professor, Department of Mechanic Engineering, Shahid Bahonar University of Kerman, Kerman, Iran.

Received: 2016/01/14

Accepted: 2016/06/08